

ФЕДЕРАЛЬНОЕ ГОСУДАРСТВЕННОЕ БЮДЖЕТНОЕ  
ОБРАЗОВАТЕЛЬНОЕ УЧРЕЖДЕНИЕ ВЫСШЕГО ОБРАЗОВАНИЯ  
«САНКТ-ПЕТЕРБУРГСКИЙ ГОСУДАРСТВЕННЫЙ УНИВЕРСИТЕТ»  
(СПбГУ)

Физический факультет

Направление «Физика»  
Кафедра статистической физики



Диаграммные вычисления ренормгрупповых функций в координатно-временном представлении

Выпускная квалификационная работа:  
Треногина Александра Владимировича

Научный руководитель:  
д.ф-м.н., профессор  
Налимов Михаил Юрьевич

Рецензент:  
д.ф-м.н., профессор  
Антонов Николай Викторович

Санкт-Петербург  
2021

# Содержание

<b>1</b>	<b>Введение.</b>	<b>2</b>
<b>2</b>	<b>Временные функции Грина при температуре не равной нулю.</b>	<b>4</b>
<b>3</b>	<b>Диаграммная техника.</b>	<b>8</b>
<b>4</b>	<b>Заключение.</b>	<b>12</b>
<b>5</b>	<b>Приложение.</b>	<b>13</b>
5.1	Преобразование Фурье в общем виде. . . . .	13
5.2	Свертка пропагаторов в общем виде. . . . .	13
5.3	Вклады в константы ренормировки. . . . .	15
	<b>Список литературы</b>	<b>19</b>

# 1 Введение.

Диаграммные методы являются универсальным инструментом для решения многих задач в самых различных областях физики. Их успешно применяют в задачах рассеяния, кинетики и гидродинамики, а также в многих других волнующих человечество вопросах.

Изначально эти методы были разработаны для нужд физики высоких энергий [1], но впоследствии нашли свое применение и в других разделах физики. Их применение в квантовой теории поля (КТП) позволяет наглядно представить систему со взаимодействием как бесконечную сумму некоторых диаграмм, где каждой диаграмме соответствует слагаемое, возникающее после применения теории возмущений.

В данной работе представлена диаграммная техника на примере модели, используемой для исследования такого критического явления, как сверхтекучесть. Исследование поведения системы вблизи  $\lambda$ -точки является актуальной задачей. Современная теория критических явлений описывается с помощью методов КТП. Именно поэтому развитие методов КТП очень важно для дальнейшего развития теории критических явлений в целом.

Теория критического поведения состоит из критической статики и динамики. В первом случае исследуются задачи, в которых отсутствует временная зависимость. Это задачи термодинамики и равновесной статистической физики вблизи критических точек. Во втором случае исследуются различные величины и характеристики в стохастических системах. Конкретнее, рассматривается критическое поведение под воздействием равновесных флуктуаций.

Развитие теории критических явлений началось с задач статики, которые по своей основе легче, чем задачи динамики, так как не содержат временной зависимости. Вначале, в зависимости от рассматриваемой задачи, строится функционал действия (в дальнейшем просто действие) вида  $S = S_0 + V$ , где  $S_0$  - свободное действие, которое имеет квадратичную зависимость от имеющихся в нашей модели полей, а  $V$  - некоторое взаимодействие. В выражениях для вычисления статистической суммы (далее статсумма) и функций Грина, действие присутствует в экспоненте, поэтому свободное действие оставляют, а взаимодействие раскладывают в ряд по теории возмущений, считая, что оно невелико. Работая в  $d$ -мерном евклидовом пространстве, наши слагаемые в ряде будут иметь  $n \cdot d$  интегралов, где  $n$  - номер члена ряда. Используя теорему Вика, можно представить получаемые слагаемые некоторыми диаграммами, которые, в свою очередь, тоже обозначают некоторые математические выражения, за которыми кроются многократные интегралы. Эти многократные интегралы создают одну существенную проблему. При попытке увеличения точности и учета все более сложных членов ряда (или диаграмм, соответствующих им), сложность вычислений увеличивается в разы таким образом, что применение метода Монте-Карло становится невозможным.

Для решения этой проблемы, предпринимают следующий порядок действий:

1. Конкретную диаграмму записывают в импульсном представлении, в котором она представляется в виде заинтегрированного по всевозможным импульсам произведения пропагаторов.
2. Используют фейнмановское представление для произведения пропагаторов.
3. Применяют метод Sector Decomposition (SD) [2], смысл которого в разделении области интегрирования на подобласти определенным образом.

Данный алгоритм оказался довольно эффективным и показал лучший результат, чем применение метода Монте-Карло к вычислению получаемых многократных интегралов. На данный момент метод SD является основным инструментом вычисления диаграмм.

В [3] был предложен абсолютно иной подход для решения проблем, возникающих при попытке повысить точность посредством учета более сложных членов ряда теории возмущений. Основная идея в том, чтобы работать не только в импульсном представлении,

но и в координатном. Ловко маневрируя между разными представлениями, можно получить грандиозные результаты. Во многом благодаря этому методу, были произведены существенные подвижки в критической статике и теории критических явлений в целом.

Переходя к критической динамике, мы встречаем уйму трудностей и замечаем, что здесь все намного сложнее. В этом разделе теории критических явлений у нас возникает временная зависимость уравнений и вследствие этого сильно увеличивается сложность вычислений. Для описания динамики в системе используют различные модели [4], именуемые как А, В, С и так далее. Данные модели не следуют из какой-либо теории, потому что строгое математическое описание стохастических процессов довольно сложно. Их построение строится феноменологически с помощью введения в стохастические уравнения некоторых случайных сил или величин.

В данной работе нас интересует диаграммная техника в применении к сверхтекучей критической динамике. Так сложилось, что для описания этого фазового перехода модель F и ее упрощенная версия E являются наиболее феноменологически пригодны. Однако в недавней работе [5] было выдвинуто предположение, что в основополагающей для непрерывного фазового перехода ИК-области, поведение нашей системы описывается более простой стохастической моделью А. Изначально считалось, что данная модель феноменологически непригодна в этом случае, но, по всей видимости, это не совсем так. Если это предположение подтвердится, то это сильно облегчит ситуацию, потому что динамический критический индекс до сих пор не вычислен в моделях F и E, но в модели А он известен.

Само предположение проверяется путем сравнения динамических критических индексов модели, основанной на микроскопическом подходе для соответствующего фазового перехода, и модели А. Изначально применялся метод SD для получения значения критического индекса в первом порядке  $\epsilon$ -разложения, но было замечено, что метод, предложенный А. Н. Васильевым в [3] для статике, после небольших преобразований также находит себе хорошее применение и в динамике. Благодаря этому методу стало возможным посчитать вклады в константы ренормировки одно и двухпетлевых диаграмм в аналитическом виде [6], что при применении метода SD не представлялось возможным.

Далее будут описаны модель, основанная на микроскопическом подходе с применением временных функций Грина при конечной температуре, и сама диаграммная техника, используемая для вычисления нужных вкладов в константы ренормировки различных диаграмм.

## 2 Временные функции Грина при температуре не равной нулю.

Для начала опишем систему, в которой мы работаем, а далее сами функции Грина в применении к ней.

Рассматриваем систему квантовых бозе-частиц в большом каноническом ансамбле (БКА) с локальным отталкивающим взаимодействием типа плотность-плотность. Гамильтониан системы представим следующим образом [7]:

$$\hat{H} = \int dx \hat{\psi}^+(x, t) \left( \frac{\hat{p}^2}{2m} - \mu \right) \hat{\psi}(x, t) + \iint dx dx' \hat{\psi}^+(x, t) \hat{\psi}(x, t) V(x - x') \hat{\psi}^+(x', t) \hat{\psi}(x', t), \quad (1)$$

где  $x$  является  $d$ -мерным вектором ( $x \in \mathbb{R}^d$ ),  $\hat{p} = -i\nabla$  - оператор импульса (работаем в системе единиц, где  $\hbar = 1$ ),  $m$  - масса частиц,  $\mu$  - химический потенциал. Операторы поля  $\hat{\psi}^+(x, t)$  и  $\hat{\psi}(x, t)$ :

$$\hat{\psi}^+(x, t) = \sum_k \varphi_k^*(x, t) \hat{a}_k^+, \quad \hat{\psi}(x, t) = \sum_k \varphi_k(x, t) \hat{a}_k.$$

В выражениях для операторов поля суммирование ведется по одночастичным состояниям гамильтониана свободной частицы  $\hat{H}_1 = \frac{\hat{p}^2}{2m} - \mu$ ,  $\hat{a}_k^+$  и  $\hat{a}_k$  - операторы рождения и уничтожения соответственно,  $\varphi_k(x, t)$  - волновая функция, удовлетворяющая уравнению Шредингера:

$$i \frac{\partial}{\partial t} \varphi_k(x, t) = \hat{H}_1 \varphi_k(x, t).$$

Она представима в виде произведения функций, зависящих только от времени и координаты:

$$\varphi_k(x, t) = e^{-i\epsilon_k t} \varphi_k(x),$$

где  $\epsilon_k$  - собственные значения и  $\varphi_k(x)$  - собственные функции гамильтониана  $\hat{H}_1$ .

В (1),  $V(x - x')$  - потенциал парного взаимодействия частиц. При рассмотрении локального отталкивающего взаимодействия, хорошим приближением будет  $V(x - x') = \frac{\lambda}{2} \delta(x - x')$  - приближение Ландау. Это приближение хорошо работает при больших плотностях, что эквивалентно низким температурам.

Учитывая все вышесказанное, наш гамильтониан (1) можно переписать в следующем виде:

$$\hat{H} = \int dx \hat{\psi}^+(x, t) \left( -\frac{\Delta}{2m} - \mu \right) \hat{\psi}(x, t) + \frac{\lambda}{2} \int dx (\hat{\psi}^+(x, t) \hat{\psi}(x, t))^2. \quad (2)$$

Теперь перейдем к самим функциям Грина. Общее определение  $n$ -точечных функций Грина (иначе корреляционных функций) в квантовой теории поля [8]:

$$G_n(x_1, t_1, x_2, t_2, \dots, x_n, t_n) = \langle T[\hat{\phi}(x_1, t_1) \hat{\phi}(x_2, t_2) \dots \hat{\phi}(x_n, t_n)] \rangle, \quad (3)$$

где  $T$  - оператор хронологического упорядочивания по времени,  $\hat{\phi}(x_k, t_k)$  - оператор поля в представлении Гейзенберга, состоящий из двух компонент:

$$\hat{\phi}(x_k, t_k) = \begin{pmatrix} \hat{\psi}(x_k, t_k) \\ \hat{\psi}^+(x_k, t_k) \end{pmatrix}.$$

В силу определения усреднения как  $\langle \dots \rangle = Sp\{\hat{\rho} \dots\}$ , где  $Sp$  - операция взятия следа,  $\hat{\rho}$  - оператор плотности, можем переписать (3):

$$G_n(x_1, t_1, x_2, t_2, \dots, x_n, t_n) = Sp\{\hat{\rho} T[\hat{\phi}(x_1, t_1)\hat{\phi}(x_2, t_2)\dots\hat{\phi}(x_n, t_n)]\}.$$

В функции Грина мы можем выбирать любую из компонент оператора поля  $\hat{\phi}$ . Возможны случаи, где все операторы полей  $\hat{\psi}$  или  $\hat{\psi}^+$ . Будем рассматривать первый случай:

$$G_n(x_1, t_1, x_2, t_2, \dots, x_n, t_n) = Sp\{\hat{\rho} T[\hat{\psi}(x_1, t_1)\hat{\psi}(x_2, t_2)\dots\hat{\psi}(x_n, t_n)]\}. \quad (4)$$

Представим оператор в представлении Гейзенберга  $\hat{\psi}(x_k, t_k)$  через оператор в представлении Шредингера  $\hat{\psi}(x_k)$  и оператор эволюции  $e^{-i(t_k-t_0)(\hat{H}-\mu\hat{N})}$ , который, в свою очередь, определяется через гамильтониан  $\hat{H}$ , описывающий систему в БКА:

$$\hat{\psi}(x_k, t_k) = e^{i(t_k-t_0)(\hat{H}-\mu\hat{N})}\hat{\psi}(x_k)e^{-i(t_k-t_0)(\hat{H}-\mu\hat{N})}.$$

Оператор плотности представим в виде:

$$\hat{\rho} = \frac{e^{-\beta(\hat{H}-\mu\hat{N})}}{Sp\{e^{-\beta(\hat{H}-\mu\hat{N})}\}}, \quad \beta = \frac{1}{k_B T},$$

где  $k_B$  - постоянная Больцмана.

В знаменателе стоит нечто иное, как статсумма, которую обозначим  $Z$ . Принимая во внимание все вышесказанное, а также вспоминая одно из свойств  $Sp$ :  $Sp(AB) = Sp(BA)$ , и замечая, что  $\hat{\rho}$  и оператор эволюции коммутируют, можем переписать функцию Грина (4):

$$G_n(x_1, t_1, x_2, t_2, \dots, x_n, t_n) = Sp\left\{\frac{e^{-\beta(\hat{H}-\mu\hat{N})}}{Z} T[\hat{\psi}(x_1)e^{i(t_2-t_1)(\hat{H}-\mu\hat{N})}\hat{\psi}(x_2)\dots e^{i(t_n-t_{n-1})(\hat{H}-\mu\hat{N})}\hat{\psi}(x_n)e^{-i(t_n-t_1)(\hat{H}-\mu\hat{N})}]\right\}. \quad (5)$$

Далее воспользуемся формулой Фейнмана-Каца [9]:

$$\langle q|U(t, t_0)|q_0\rangle = \int_{q(t_0)=q_0}^{q(t)=q} Dq(t) \int Dp(t) e^{iS_{cl}(t, t_0)\hbar^{-1}}.$$

Это выражение рассматривается на нерелятивистской квантовой частице, где  $p, q$  - канонические импульс и координата частицы, которым соответствуют некоторые операторы  $\hat{p}$  и  $\hat{q}$ . В моменты времени  $t_0$  и  $t$  частица находилась в  $q_0$  и  $q$  соответственно.  $U(t, t_0)$  - оператор эволюции.  $S_{cl}(t, t_0)$  - классическое действие, зависящее от канонических переменных:

$$S_{cl}(t, t_0) = \int dt(p(t)\dot{q}(t) - h(p(t), q(t))),$$

где  $h(p(t), q(t))$  - классический гамильтониан, зависящий от канонических переменных  $p$  и  $q$ . Еще раз подчеркнем, что слева в выражении для формулы Фейнмана-Каца стоит матричный элемент некоторого оператора, зависящего от  $\hat{p}$  и  $\hat{q}$ , а справа - интегрирование экспоненты, содержащей действие, зависящее от канонических переменных  $p$  и  $q$ .

Вспоминая определение из квантовой механики:  $Sp\{\dots\} = \lim_{q'' \rightarrow q'} \langle q'|\dots|q''\rangle$ , и представляя  $i\hat{\psi}^+ = \hat{p}$  и  $\hat{\psi} = \hat{q}$  (для сохранности коммутатора), переписываем функцию Грина

(5), используя аналогичные соображения вывода формулы Фейнмана-Каца, следующим образом:

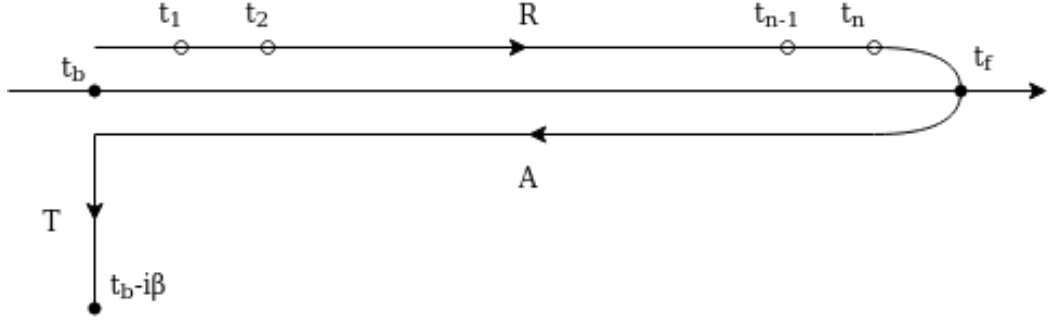
$$G_n(x_1, t_1, x_2, t_2, \dots, x_n, t_n) = \lim_{\psi_b \rightarrow \psi_e} \langle \psi_e | \frac{e^{-\beta(\hat{H} - \mu \hat{N})}}{Z} T[\hat{\psi}(x_1) e^{i(t_2 - t_1)(\hat{H} - \mu \hat{N})} \hat{\psi}(x_2) \dots e^{i(t_n - t_{n-1})(\hat{H} - \mu \hat{N})} \hat{\psi}(x_n) e^{-i(t_n - t_1)(\hat{H} - \mu \hat{N})}] | \psi_b \rangle = \frac{1}{\sum_{\psi_e = \psi_b}} \int D\psi \int D\psi^+ \psi(x_1) \psi(x_2) \dots \psi(x_n) e^{iS}, \quad (6)$$

$$Z = \int D\psi \int D\psi^+ e^{iS}.$$

Здесь  $\psi$  и  $\psi^+$  - комплексно-сопряженные поля, заменяющие операторы поля;  $\psi_b$  и  $\psi_e$  - поля в начальный и конечный момент времени соответственно. Действие  $S$ :

$$S = \int dt \int dx (i\psi^+ \partial_t \psi + \psi^+ (\frac{\Delta}{2m} + \mu) \psi - \frac{\lambda}{2} (\psi^+ \psi)^2). \quad (7)$$

В этом выражении интегрирование по времени ведется по контуру Келдыша-Швингера:



Времена расставлены в следующем порядке:  $t_b < t_1 < \dots < t_n < t_f$ . Контур имеет такой вид из-за того что у нас есть разные экспоненты в (5). Вначале ведется интегрирование по контуру R, чему соответствуют экспоненты с правильным знаком в правой части выражения (5), далее по контуру A из-за появления экспонент с другим знаком, напоследок, интегрирование по контуру T необходимо из-за наличия оператора плотности. Важно подчеркнуть, что выражение (4) на самом деле является выражением для зависящих от времени неравновесных функций Грина с оператором плотности, отвечающим  $t_b$ . Чтобы воспользоваться равновесным оператором плотности, который был приведен выше, будем считать  $t_b \rightarrow -\infty$ . В этом случае начальное распределение "забудется" к моменту времени  $t_1$  и наша система будет находиться в равновесии. В добавок к этому, для дальнейшего упрощения, будем считать, что  $t_f \rightarrow \infty$ . На границах контуров R, A, T у нас стоят условия сшивания:

$$\psi_R(t_f) = \psi_A(t_f), \quad \psi_A(t_b) = \psi_T(t_b), \quad \psi_T(t_b - i\beta) = \psi_R(t_b).$$

Появившиеся условия являются следствием непрерывности полей и взятия операции следа.

Найдем свободные пропагаторы. Взглянув на действие (7), видно, что квадратичная часть выглядит  $\psi^+ K \psi$ , где  $K = i\partial_t + \frac{\Delta}{2m} + \mu$ . Именно поэтому пропагаторы вида  $\langle \psi \psi \rangle$  и  $\langle \psi^+ \psi^+ \rangle$  равны нулю. Осталось найти пропагаторы вида  $G_{ij} \equiv \langle \psi_i(t) \psi_j^+(t') \rangle_0$ . Индексы  $i, j$  - показывают на каком из контуров R, A или T находятся времена  $t$  и  $t'$ , субскрипт 0 обозначает, что усреднение идет с квадратичной по полям частью действия  $S$ .

Пропагаторы находятся из выражения:

$$(i\partial_t + \frac{\Delta}{2m} + \mu)G_{ij}(x - x', t - t') = \delta(x - x')\delta(t - t').$$

Производя преобразование Фурье по координате и используя условия шивания, получаем в импульсно-временном представлении:

$$\begin{aligned} G_{RR} &= e^{-i\epsilon(t-t')}(\theta(t-t') + n), & G_{RA} &= e^{-i\epsilon(t-t')}n, & G_{AR} &= e^{-i\epsilon(t-t'})(n+1), \\ G_{AA} &= e^{-i\epsilon(t-t')}(\theta(t'-t) + n), & G_{RT} &= e^{-i\epsilon(t-t')}n, & G_{TR} &= e^{-i\epsilon(t-t')}n, \\ G_{TT} &= e^{-i\epsilon(t-t')}(\theta(t'-t) + n), & G_{AT} &= e^{-i\epsilon(t-t')}n, & G_{TA} &= e^{-i\epsilon(t-t')}n, \end{aligned}$$

где  $\theta$  - тета-функция Хевисайда,  $n = n(\epsilon(p)) = \frac{1}{e^{\beta\epsilon} - 1}$  - средние значения чисел заполнения,  $\epsilon = \frac{p^2}{2m} - \mu$ ,  $p$  - импульс.

Далее удобно представить  $\psi_R, \psi_R^+, \psi_A, \psi_A^+$  через новые поля  $\xi, \xi^+, \eta, \eta^+$  [10]:

$$\psi_R = \frac{\xi + \eta}{\sqrt{2}}, \quad \psi_R^+ = \frac{\xi^+ + \eta^+}{\sqrt{2}}, \quad \psi_A = \frac{\xi - \eta}{\sqrt{2}}, \quad \psi_A^+ = \frac{\xi^+ - \eta^+}{\sqrt{2}}.$$

После этой замены используем "безмассовую" схему ренормировки ( $\mu = 0$ ). Вспомогательная, что мы устремили  $t_b \rightarrow -\infty, t_f \rightarrow \infty$  и учитывая, что в окрестности сверхтекучего фазового перехода существенны лишь длинноволновые флуктуации, наши пропагаторы сильно упрощаются и начинают выглядеть следующим образом:

$$\begin{aligned} \langle \xi\xi^+ \rangle_0 &= \frac{2}{k^2} e^{-iuk^2(t-t') - \alpha k^2 |t-t'|}, & \langle \xi\eta^+ \rangle_0 &= \theta(t-t') e^{-iuk^2(t-t') - \alpha k^2 |t-t'|}, \\ \langle \eta\eta^+ \rangle_0 &= 0, & \langle \eta\xi^+ \rangle_0 &= -\theta(t'-t) e^{-iuk^2(t-t') - \alpha k^2 |t-t'|}, \end{aligned}$$

где  $\alpha$  - безразмерный параметр;  $\langle \eta^+\xi \rangle, \langle \xi^+\eta \rangle, \langle \xi^+\xi \rangle$ , получаются заменой  $t \leftrightarrow t'$ . Заметим, что данные пропагаторы отличаются от таковых в модели А, за счет того, что в экспоненте присутствует комплексная составляющая.

Перейдем к более естественной записи действия в (6) через замену  $S = iS'$ , получим  $e^{-S'}$ .

В результате получим действие следующего вида:

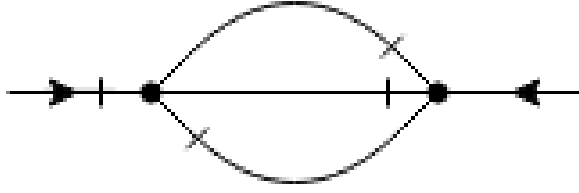
$$S' = S'_0 + \frac{i\lambda\alpha}{2}\eta^+\xi^+\xi\xi + \frac{i\bar{\lambda}\alpha}{2}\eta\xi\xi^+\xi^+,$$

где  $\lambda, \bar{\lambda}$  - два различных заряда,  $S'_0$  - часть действия, квадратичная по полям:

$$S'_0 = 4\eta\alpha\eta^+ + \eta^+(\partial_t - iu\Delta - \alpha\Delta)\xi + \xi^+(\partial_t - iu\Delta + \alpha\Delta)\eta.$$

Величина  $u$  вводится руками для дальнейшего удобства в вычислениях. В самом конце нужно будет положить  $u = 1$ . Все нужные интегрирования в действии подразумеваются.

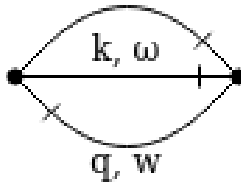




Для нахождения интересующего нас значения, проводится размерная регуляризация  $D = 4 - \epsilon$ . При  $\epsilon \rightarrow 0$  будут появляться расходимости, от которых мы и хотим избавиться. Для этого нужно найти константы при расходящихся вкладках. Посчитаем эту константу для диаграммы типа "арбуз", представленной выше, используя метод А.Н. Васильева.

Отметим, что в  $(p, \omega)$  представлении, внешние хвосты просто домножаются на оставшуюся часть диаграммы, поэтому мы с легкостью можем их убрать, так как они не содержат расходимостей. Рассматриваем ампутированную диаграмму:

**p-k-q,  $\Omega-\omega-w$**



Данная диаграмма представляет собой произведение 3-х пропагаторов в  $(p, \omega)$  представлении, заинтегрированных по внутренним импульсам и частотам:

$$\iiint dk d\omega dq dw G_{\xi\xi^+}(p-k-q, \Omega-\omega-w) G_{\xi\xi^+}(k, \omega) G_{\xi^+\xi}(q, w).$$

Взглянув на выражение, видно, что присутствует 10-ти-мерный интеграл. Интегрировать в лоб довольно-таки трудоемкий процесс, однако есть другое решение. Можно заметить, что полученное выражение представляет собой ничто иное как свертку:

$$((G_{\xi\xi^+} * G_{\xi\xi^+}) * G_{\xi^+\xi})(p, \Omega).$$

Применив преобразование Фурье:

$$\int d^D(x-x') e^{-ik(x-x')}, \int dt e^{i\omega(t-t')}, \frac{1}{(2\pi)^D} \int d^D k e^{ik(x-x')}, \frac{1}{(2\pi)} \int d\omega e^{-i\omega(t-t')}$$

и вспомнив одно из свойств свертки:  $F[f * g] = F[f] \cdot F[g]$ , получим произведение 3-х пропагаторов в  $(x, t)$  представлении:

$$\frac{8}{(2\pi)^{3D}} \pi^{3\frac{D}{2}} \beta_1^{2-D} \beta_2^{1-\frac{D}{2}} \int_0^1 \frac{ds_1}{s_1^{\frac{2-D}{2}}} \int_0^1 \frac{ds_2}{s_2^{\frac{2-D}{2}}} \int_0^1 \frac{ds_3}{s_3^{\frac{2-D}{2}}} \exp\left(-\frac{(x-x')^2}{4} \left(\frac{s_1+s_2}{\beta_1} + \frac{s_3}{\beta_2}\right)\right), \quad (9)$$

$$\beta_1 = \alpha|t-t'| + iu(t-t'), \beta_2 = \alpha|t-t'| + iu(t'-t).$$

Предварительно к каждому из пропагаторов было применено обратное преобразование Фурье по импульсу. Для пропагаторов  $\langle \xi \eta^+ \rangle_0, \langle \eta \xi^+ \rangle_0$  это сделать довольно-таки просто, для  $\langle \xi \xi^+ \rangle_0$  нужно дополнительно применить некоторое преобразование, чтобы избавиться от  $k^2$  в знаменателе. Рассмотрим получение пропагатора  $\langle \xi(k, t) \xi^+(-k, t') \rangle_0$  в  $(x, t)$  представлении. Используем:

$$\frac{e^{-\beta k^2}}{k^2} = \int_0^1 \frac{\beta \exp(-\frac{\beta k^2}{s})}{s^2} ds,$$

чтобы избавиться от  $k^2$  в знаменателе:

$$\begin{aligned} \langle \xi \xi^+ \rangle_0 &= \frac{2}{k^2} e^{-iuk^2(t-t') - \alpha k^2 |t-t'|} = \frac{2}{k^2} e^{-\beta_1 k^2} = 2 \int_0^1 \frac{\beta_1 \exp(-\frac{\beta_1 k^2}{s})}{s^2} ds \xrightarrow{\text{Fourier}} \\ &\xrightarrow{\text{Fourier}} \frac{2}{(2\pi)^D} \int_0^1 \frac{ds}{s^2} \beta_1 \int e^{ik(x-x')} \exp\left(-\frac{\beta_1 k^2}{s}\right) d^D k = \\ &= \frac{2}{(2\pi)^D} \beta_1 \int_0^1 \frac{ds}{s^2} \left(\frac{\pi s}{\beta_1}\right)^{\frac{D}{2}} \exp\left(-\frac{(x-x')^2 s}{4\beta_1}\right). \end{aligned}$$

Далее в (9) применяем преобразование Фурье по координате и времени, а также используем определение для гамма-функции:

$$\begin{aligned} \frac{8}{(4\pi)^D} \frac{\Gamma(4-D)}{(p^2)^{4-D}} \int_0^1 \frac{ds_1}{s_1^{\frac{2-D}{2}}} \int_0^1 \frac{ds_2}{s_2^{\frac{2-D}{2}}} \int_0^1 \frac{ds_3}{s_3^{\frac{2-D}{2}}} \left( (\alpha+iu)^{2-D} (\alpha-iu)^{1-\frac{D}{2}} \left( \frac{s_1+s_2}{\alpha+iu} + \frac{s_3}{\alpha-iu} \right)^{4-\frac{3D}{2}} + \right. \\ \left. (\alpha-iu)^{2-D} (\alpha+iu)^{1-\frac{D}{2}} \left( \frac{s_1+s_2}{\alpha-iu} + \frac{s_3}{\alpha+iu} \right)^{4-\frac{3D}{2}} \right). \end{aligned}$$

Здесь нет зависимости от  $\Omega$ , так как при преобразовании Фурье было положено нулем. Это было сделано, так как вклад  $p=0, \Omega \neq 0$  не содержит расходимостей, что нельзя сказать о противоположной ситуации. Однако можно проинтегрировать и не полагая  $\Omega=0$ . Тогда бы в выражении одно из сомножителей выглядело не  $\left(\frac{p^2}{A}\right)^B$ , а  $\left(\frac{p^2}{A} \pm i\Omega\right)^B$ , где знак зависит от того какая  $\theta$ -функция стоит в выражении.

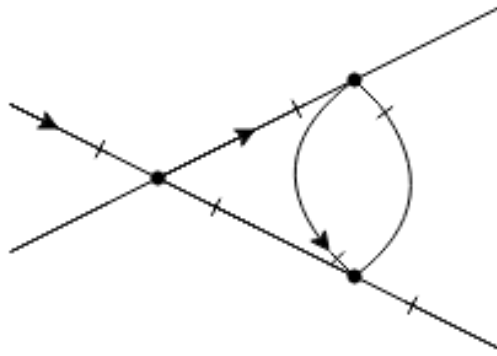
Теперь остается лишь положить  $D=4-\epsilon$ , разложить гамма-функцию в ряд Лорана по  $\epsilon$  и вычленив выражение, получающееся при  $\frac{1}{\epsilon}$ :

$$\frac{8}{(4\pi)^4} \frac{1}{\alpha(1+u^2)} \left( \text{Log} \left[ \frac{4096}{(1+u^2)(9+u^2)^3} \right] + 2u \left( \text{Arctg} \left[ \frac{u^2+3}{2u} \right] - \text{Arctg} \left[ \frac{1-u^2}{2u} \right] \right) \right).$$

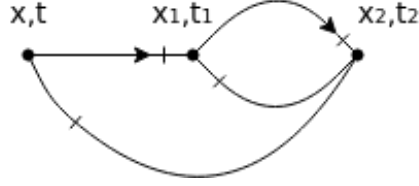
Дополнитель к этому была проведена замена  $u \rightarrow \alpha u$ , внешний импульс  $p$  положен равным 1.

Таким образом, было получено интересующее нас значение в аналитическом виде для диаграммы типа "арбуз", что, однако, невозможно сделать, используя метод Sector Decomposition. На примере этой диаграммы видно преимущество метода Васильева.

Рассмотрим более сложный пример:



Оказывается, в этом случае, можно считать, что на одном из внешних хвостов, импульс и частота равняются нулю. Вследствие этого, предоставляется удобным обрезать правый верхний хвостик. Поступая аналогичным образом, как с диаграммой "арбуз", рассматриваем лишь ампутированную часть:



Усложнение вычислений заключается в том, что в точке  $x_1, t_1$  свертка по этим переменным. Чтобы избавиться от свертки, все также применяем свойство преобразования Фурье. Для этого, каждую из частей диаграммы, находящуюся слева и справа от точки  $x_1, t_1$ , переводим в  $(p, \omega)$  представление, перемножаем и переводим обратно в  $(x, t)$ :

$$A_1 A_2 \left( \frac{\pi}{b_1 b_2} \right)^{\frac{D}{2}} \int_0^1 ds_3 s_3^{\frac{D}{2}-a_1} (1-s_3)^{\frac{D}{2}-a_2} \left( \frac{s_3}{b_1} + \frac{(1-s_3)}{b_2} \right)^{-\frac{D}{2}} (t-t_2)^{1+\frac{D}{2}-a_1-a_2} \theta(t-t_2) \exp \left( - \frac{(x-x_2)^2}{t-t_2} \left( \frac{s_3}{b_1} + \frac{1-s_3}{b_2} \right)^{-1} \right),$$

где  $a_1 = \frac{D}{2}$ ,  $a_2 = D-1$ ,  $b_1 = \frac{1}{4(\alpha+iu)}$ ,  $b_2 = \frac{s_1}{4(\alpha-iu)} + \frac{1}{4(\alpha+iu)}$ ,  $A_1 = \frac{\pi^{\frac{D}{2}}}{(2\pi)^D} (\alpha+iu)^{-\frac{D}{2}}$ ,  $A_2 = \frac{2\pi^D}{(2\pi)^{2D}} (\alpha-iu)^{1-\frac{D}{2}} (\alpha+iu)^{-\frac{D}{2}} \int_0^1 \frac{ds_1}{s_1^{2-\frac{D}{2}}}$ . Здесь была использована формула для свертки пропагаторов в общем виде, приведенная в приложении 5.2.

Домножив на пропагатор, присоединенный ниже, подставив  $a_1, a_2$  и переведя в  $(p, \omega)$  представление, получаем:

$$\frac{2\pi^{\frac{D}{2}}}{(2\pi)^D} \int_0^1 \frac{ds_2}{s_2^{2-\frac{D}{2}}} (\alpha-iu)^{1-\frac{D}{2}} A_1 A_2 \left( \frac{\pi}{b_1 b_2} \right)^{\frac{D}{2}} \int_0^1 ds_3 (1-s_3)^{1-\frac{D}{2}} \left( \frac{s_3}{b_1} + \frac{(1-s_3)}{b_2} \right)^{-\frac{D}{2}} \left( \frac{\pi}{A_3} \right)^{\frac{D}{2}} \frac{\Gamma(4-D)}{(4A_3 - i\Omega)^{4-D}},$$

где  $A_3 = \frac{s_2}{4(\alpha-iu)} + \left( \frac{s_3}{b_1} + \frac{1-s_3}{b_2} \right)^{-1}$ . Аналогично с тем, как делалось в арбузе, кладем  $p = 1, \Omega = 0$ , так как нужный нам вклад в константу ренормировки сидит именно здесь.

Далее подставляем  $D = 4 - \epsilon$  и видим, что есть особенность в точке  $s_3 = 1$ :

$$\int_0^1 ds_3 (1-s_3)^{\frac{\epsilon}{2}-1} f(s_3, \epsilon, \dots).$$

Для решения этой проблемы прибавляем, вычитаем  $f(s_3 = 1, \dots)$ . Таким образом, наша особенность переходит в расходимость по  $\epsilon$ , где первым членом ряда Лорана будет не  $C_1 \epsilon^{-1}$ , а  $C_2 \epsilon^{-2}$ . Выделяя вклад при  $\epsilon^{-1}$ , снова получим выражение в аналитическом виде, которое приводить не будем из-за его громоздкости. Полученный вклад при  $u = 0, \alpha = 1$ : 0.000322599.

## 4 Заключение.

Метод Васильева является сильным инструментом для получения вкладов различных диаграмм в константы ренормировки. Его применение нашлось не только в критической статике, но и в динамике.

Вначале был представлен формализм временных функций Грина, используемых для описания модели, предназначенной для исследования сверхтекучей динамики. Далее были приведены примеры использования метода для нахождения вкладов в константы ренормировки. Было показано, что с его помощью можно найти интересующие нас величины в аналитическом виде, чего не позволяет сделать метод Sector Decomposition. В этом одно из преимуществ метода Васильева. Другое же преимущество в том, что сложность вычислений растет не так быстро, как при использовании метода Sector Decomposition. Используя метод Васильева, были сосчитаны и успешно сверены искомые значения для нескольких десятков других диаграмм. Две из них типа "арбуз", другая часть подобна диаграммам типа "глаз", остальные более сложные.

## 5 Приложение.

### 5.1 Преобразование Фурье в общем виде.

В  $(x, t)$  представлении у нас получаются выражения, состоящие из слагаемых следующего вида (взглянув на  $\langle \xi \xi^+ \rangle_0$ , приведенный выше в  $(x, t)$  представлении, можно увидеть, что он как раз таки и состоит из двух слагаемых вида  $\dots \cdot \theta(t - t_2)$  и  $\dots \cdot \theta(t_2 - t)$ ):

$$A_1 \frac{\theta(t - t_2)}{(t - t_2)^{a_1}} \exp\left(-\frac{(x - x_2)^2}{t - t_2} b_1\right), \quad A_2 \frac{\theta(t_2 - t)}{(t_2 - t)^{a_2}} \exp\left(-\frac{(x - x_2)^2}{t_2 - t} b_2\right),$$

где  $A_1, a_1, b_1, A_2, a_2, b_2$  не конкретизированы, но не зависят от координат и времени.

Приведем общий вид этих выражений в  $(p, \omega)$  представлении:

$$A \frac{\theta(t - t_2)}{(t - t_2)^a} \exp\left(-\frac{(x - x_2)^2}{t - t_2} b\right) \xrightarrow{\text{Fourier}} A \left(\frac{\pi}{b}\right)^{\frac{D}{2}} \frac{\Gamma(\frac{D}{2} + 1 - a)}{\left(\frac{p^2}{4b} - i\omega\right)^{\frac{D}{2} + 1 - a}},$$

$$A \frac{\theta(t_2 - t)}{(t_2 - t)^a} \exp\left(-\frac{(x - x_2)^2}{t_2 - t} b\right) \xrightarrow{\text{Fourier}} A \left(\frac{\pi}{b}\right)^{\frac{D}{2}} \frac{\Gamma(\frac{D}{2} + 1 - a)}{\left(\frac{p^2}{4b} + i\omega\right)^{\frac{D}{2} + 1 - a}}.$$

### 5.2 Свертка пропагаторов в общем виде.

Для ускорения вычислений, была вычислена свертка пропагаторов в точке  $x_1, t_1$  в общем виде, с учетом того, какой вид могут иметь пропагаторы. Вначале применялась формула преобразования Фурье в общем виде для каждого из пропагаторов, чтобы перевести их в  $(p, \omega)$  представление. Далее использовалось фейнмановское представление:

$$\frac{1}{A_1^{\lambda_1} A_2^{\lambda_2} \dots} = \frac{\Gamma(\sum_i \lambda_i)}{\Gamma(\lambda_1) \Gamma(\lambda_2) \dots} \int_0^1 du_1 \int_0^1 du_2 \dots \delta\left(\sum_i u_i - 1\right) \frac{\prod_i u_i^{\lambda_i - 1}}{\left[\sum_i A_i u_i\right]^{\sum_i \lambda_i}}.$$

В нашем случае для произведения двух выражений вида:

$$\left(\frac{p^2}{4b} \pm i\omega\right)^{a-1-\frac{D}{2}}.$$

Далее производим преобразование Фурье в обратном виде и получаем следующие выражения для 4 случаев:



$$A_1 \frac{\theta(t-t_1)}{(t-t_1)^{a_1}} \exp\left(-\frac{(x-x_1)^2}{t-t_1} b_1\right) * A_2 \frac{\theta(t_1-t_2)}{(t_1-t_2)^{a_2}} \exp\left(-\frac{(x_1-x_2)^2}{t_1-t_2} b_2\right) =$$

$$A_1 A_2 \left(\frac{\pi}{b_1 b_2}\right)^{\frac{D}{2}} \int_0^1 du_1 u_1^{\frac{D}{2}-a_1} (1-u_1)^{\frac{D}{2}-a_2} \left(\frac{u_1}{b_1} + \frac{1-u_1}{b_2}\right)^{-\frac{D}{2}} \frac{\theta(t-t_2)}{(t-t_2)^{a_1+a_2-\frac{D}{2}-1}}$$

$$\exp\left(-\frac{(x-x_2)^2}{t-t_2} \left(\frac{u_1}{b_1} + \frac{1-u_1}{b_2}\right)^{-1}\right).$$



$$A_1 \frac{\theta(t-t_1)}{(t-t_1)^{a_1}} \exp\left(-\frac{(x-x_1)^2}{t-t_1} b_1\right) * A_2 \frac{\theta(t_2-t_1)}{(t_2-t_1)^{a_2}} \exp\left(-\frac{(x_1-x_2)^2}{t_2-t_1} b_2\right) =$$

$$\frac{A_1 A_2}{2^{\frac{D}{2}+1-a_1-a_2}} \left(\frac{\pi}{b_1 b_2}\right)^{\frac{D}{2}} \int_0^1 du_1 u_1^{a_1+a_2-\frac{D}{2}-2} \left[ (1-u_1)^{\frac{D}{2}-a_1} (1+u_1)^{\frac{D}{2}-a_2} \left(\frac{1-u_1}{b_1} + \frac{1+u_1}{b_2}\right)^{-\frac{D}{2}} \right.$$

$$\left. \frac{\theta(t_2-t)}{(t_2-t)^{a_1+a_2-\frac{D}{2}-1}} \exp\left(-2u_1 \frac{(x-x_2)^2}{t_2-t} \left(\frac{1-u_1}{b_1} + \frac{1+u_1}{b_2}\right)^{-1}\right) + (1+u_1)^{\frac{D}{2}-a_1} (1-u_1)^{\frac{D}{2}-a_2} \right.$$

$$\left. \left(\frac{1+u_1}{b_1} + \frac{1-u_1}{b_2}\right)^{-\frac{D}{2}} \frac{\theta(t-t_2)}{(t-t_2)^{a_1+a_2-\frac{D}{2}-1}} \exp\left(-2u_1 \frac{(x-x_2)^2}{t-t_2} \left(\frac{1+u_1}{b_1} + \frac{1-u_1}{b_2}\right)^{-1}\right) \right].$$



$$A_1 \frac{\theta(t_1-t)}{(t_1-t)^{a_1}} \exp\left(-\frac{(x-x_1)^2}{t_1-t} b_1\right) * A_2 \frac{\theta(t_1-t_2)}{(t_1-t_2)^{a_2}} \exp\left(-\frac{(x_1-x_2)^2}{t_1-t_2} b_2\right) =$$

$$\frac{A_1 A_2}{2^{\frac{D}{2}+1-a_1-a_2}} \left(\frac{\pi}{b_1 b_2}\right)^{\frac{D}{2}} \int_0^1 du_1 u_1^{a_1+a_2-\frac{D}{2}-2} \left[ (1+u_1)^{\frac{D}{2}-a_1} (1-u_1)^{\frac{D}{2}-a_2} \left(\frac{1+u_1}{b_1} + \frac{1-u_1}{b_2}\right)^{-\frac{D}{2}} \right.$$

$$\left. \frac{\theta(t_2-t)}{(t_2-t)^{a_1+a_2-\frac{D}{2}-1}} \exp\left(-2u_1 \frac{(x-x_2)^2}{t_2-t} \left(\frac{1+u_1}{b_1} + \frac{1-u_1}{b_2}\right)^{-1}\right) + (1-u_1)^{\frac{D}{2}-a_1} (1+u_1)^{\frac{D}{2}-a_2} \right.$$

$$\left. \left(\frac{1-u_1}{b_1} + \frac{1+u_1}{b_2}\right)^{-\frac{D}{2}} \frac{\theta(t-t_2)}{(t-t_2)^{a_1+a_2-\frac{D}{2}-1}} \exp\left(-2u_1 \frac{(x-x_2)^2}{t-t_2} \left(\frac{1-u_1}{b_1} + \frac{1+u_1}{b_2}\right)^{-1}\right) \right].$$

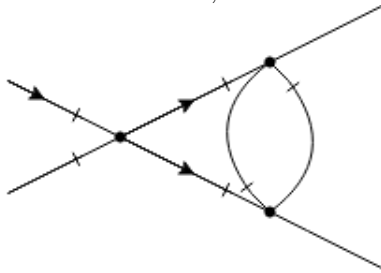


$$\begin{aligned}
 & A_1 \frac{\theta(t_1 - t)}{(t_1 - t)^{a_1}} \exp\left(-\frac{(x - x_1)^2}{t_1 - t} b_1\right) * A_2 \frac{\theta(t_2 - t_1)}{(t_2 - t_1)^{a_2}} \exp\left(-\frac{(x_1 - x_2)^2}{t_2 - t_1} b_2\right) = \\
 & A_1 A_2 \left(\frac{\pi}{b_1 b_2}\right)^{\frac{D}{2}} \int_0^1 du_1 u_1^{\frac{D}{2} - a_1} (1 - u_1)^{\frac{D}{2} - a_2} \left(\frac{u_1}{b_1} + \frac{1 - u_1}{b_2}\right)^{-\frac{D}{2}} \frac{\theta(t_2 - t)}{(t_2 - t)^{a_1 + a_2 - \frac{D}{2} - 1}} \\
 & \exp\left(-\frac{(x - x_2)^2}{t_2 - t} \left(\frac{u_1}{b_1} + \frac{1 - u_1}{b_2}\right)^{-1}\right).
 \end{aligned}$$

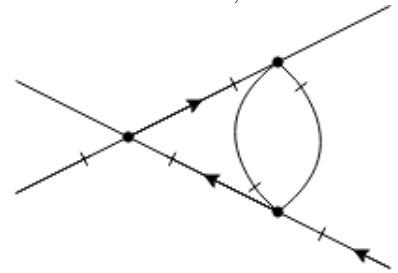
### 5.3 Вклады в константы ренормировки.

Здесь будут показаны полученные результаты. Вначале приведены вклады различных диаграмм типа "глаз" и их симметричные коэффициенты. Сами выражения получаются в аналитическом виде, но являются громоздкими, поэтому для простоты приведены при  $u = 0, \alpha = 1$ :

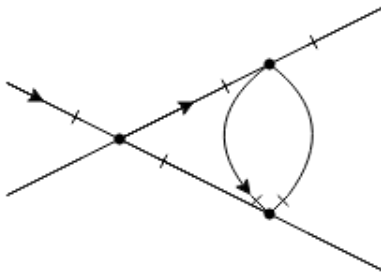
0.000138438; s.c. = 1



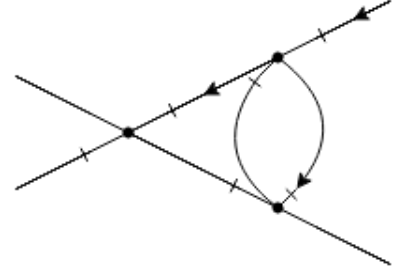
0.0000461459; s.c. = 1



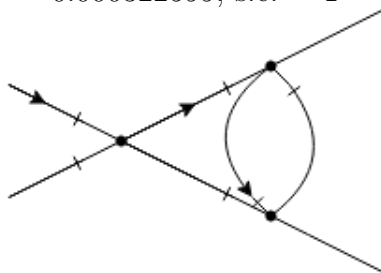
0.000322599; s.c. = 2



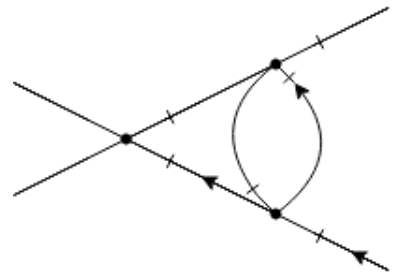
0.000368745; s.c. = 2



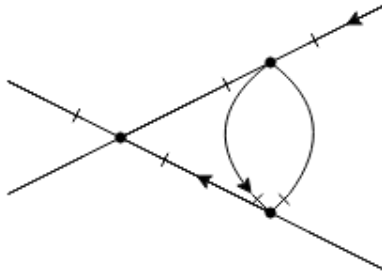
0.000322599; s.c. = 1



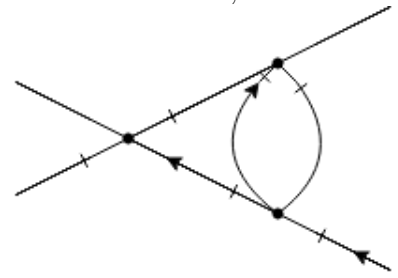
0.000368745; s.c. = 1



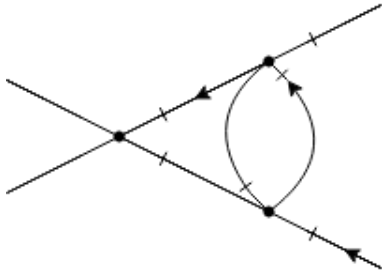
0.000322599; s.c. = 2



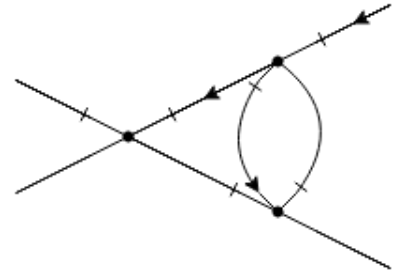
-0.000368745; s.c. = 2



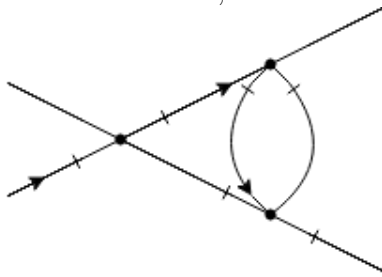
0.000322599; s.c. = 1



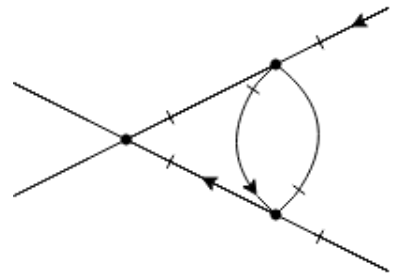
-0.000368745; s.c. = 2



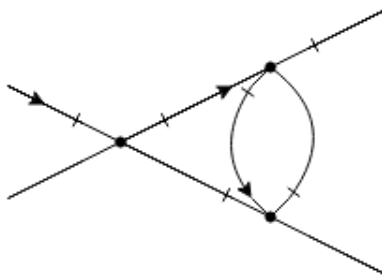
0.000322599; s.c. = 2



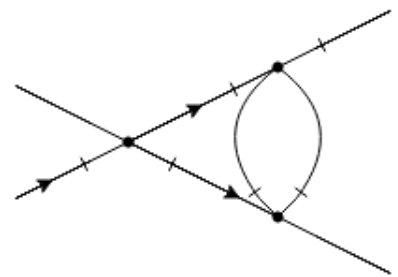
-0.000322599; s.c. = 1



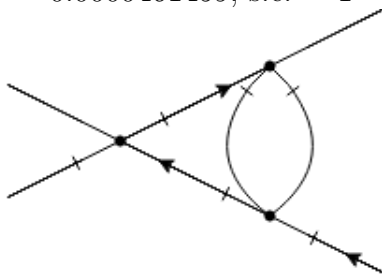
0.000322599; s.c. = 1



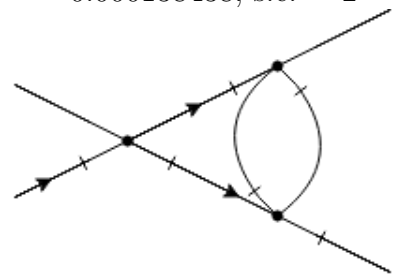
-0.000138438; s.c. = 1

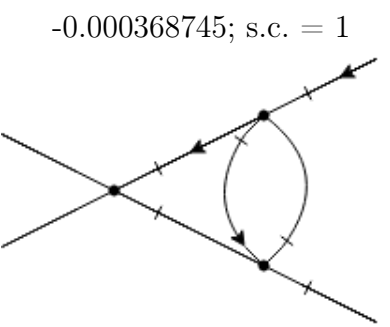
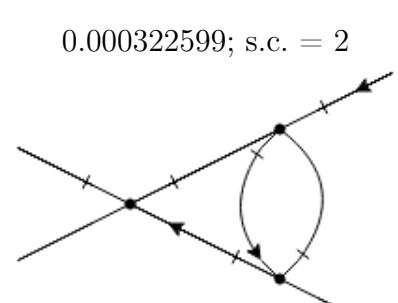
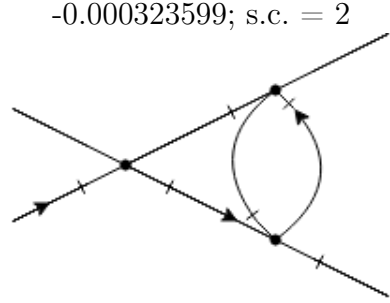
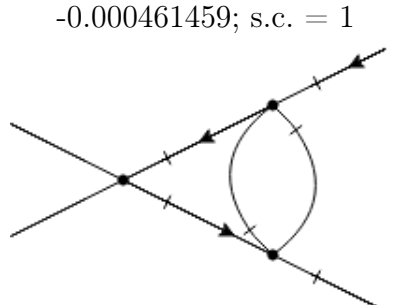
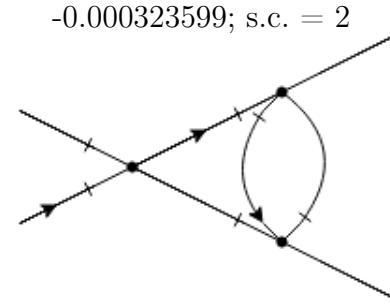
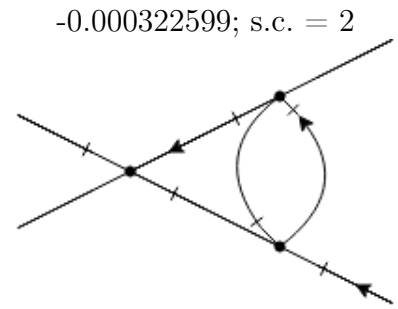
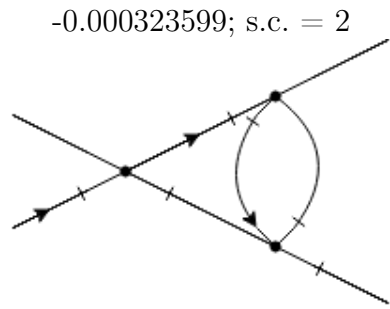


0.0000461459; s.c. = 1

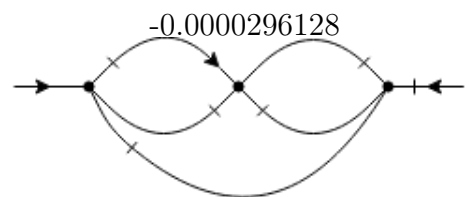
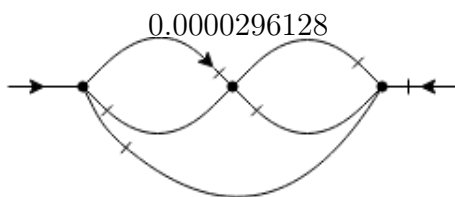


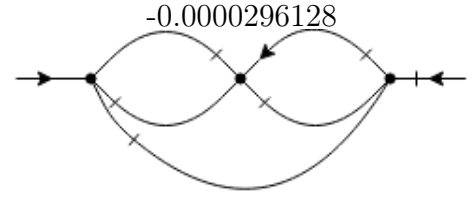
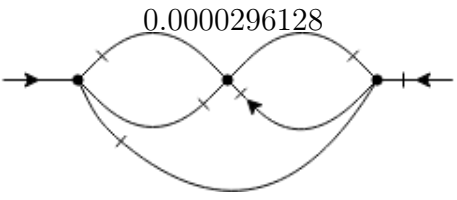
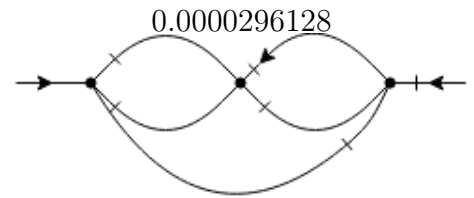
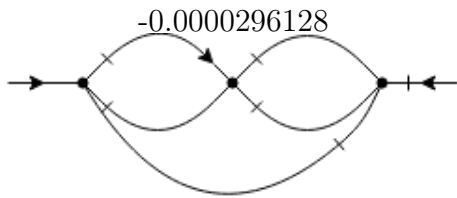
-0.000138438; s.c. = 2





Далее приведены вклады в константу ренормировки диаграмм типа "улыбка". Эти вклады уже не получается сосчитать в аналитическом виде, так как возникает 4-5 кратный интеграл по числовым параметрам, который не позволяет этого сделать. Остается выражение, зависящее от  $u$  и  $\alpha$ , которое приходится считать численно при различных значениях этих величин. Для простоты, приводим вклад при тех же значениях параметров  $u$  и  $\alpha$ :

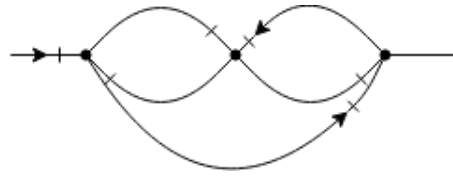




Следующая диаграмма содержит два вклада в различные константы ренормировки  $Z_1$  и  $Z_2$  [6]. Вначале будет приведен вклад в  $Z_1$ , потом в  $Z_2$ :

$$2.50179 * 10^{-6}$$

$$-1.69773 * 10^{-6}$$



## Список литературы

- [1] Feynman, Richard (1949). "The Theory of Positrons". *Physical Review*. 76 (6): 749–759.
- [2] Gudrun Heinrich, Sector Decomposition, 2008, *International Journal of Modern Physics A* 23
- [3] Vasil'ev, A. N.: *The Field Theoretic Renormalization Group in Critical Behavior Theory and Stochastic Dynamics*. Chapman & Hall/CRC Press, Boca Raton, 2004
- [4] Hohenberg P.C, Halperin B.I. *Theory of dynamic critical phenomena* (*Rev.Mod.Phys.*49, 1977)
- [5] Ю. А. Жаворонков, М. В. Комарова, Ю. Г. Молотков, М. Ю. Налимов, Ю. Хонконен, "Критическая динамика фазового перехода в сверхтекучее состояние", *ТМФ*, 200:2 (2019), 361–377; *Theoret. and Math. Phys.*, 200:2 (2019), 1237–1251
- [6] J. Honkonen, M. V. Komarova, Yu. G. Molotkov, M. Yu. Nalimov *Effective large-scale model of boson gas from microscopic theory*, 2019
- [7] Абрикосов А. А., Горьков Л. П., Дзялошинский И. Е. *Методы квантовой теории поля в статистической физике*. М., Физматгиз, 1963, Добросвет, 1998.
- [8] Ю. Хонконен, *Контурно упорядоченные функции Грина в стохастической теории поля*, *ТМФ*, 2013, том 175, номер 3, 455–464, DOI: <https://doi.org/10.4213/tmf8483>
- [9] Славнов А. А., Фаддеев Л. Д. *Введение в квантовую теорию калибровочных полей*. — 2-е изд. — М.: Наука. 1988,—272 с.
- [10] *Diagram technique for nonequilibrium processes*, L.V. Keldysh, *Zh.Eksp.Theor.Fiz.* 47 (1964) 1515-1527, *Sov.Phys.JETP* 20 (1965) 1018-1026